

沈埋トンネル横断方向の地震時の安定性

建設省土木研究所 正員 栗林 栄一
建設省関東地方建設局 大橋 義彦
日本技術開発株式会社 正員 ○佐治 光昭

1. まえがき

沈埋トンネルは通常水底の沖積層の表面に敷設されるため、浮力によりその自重が著しく軽減されるので、非常に軟質な地盤上にても築造できることが大きな長所となる。しかしながら、わが国は世界有数の地震頻発地帯に属しております。沖積層は一般に厚く軟質であるという軟かい自然条件下にある。したがって構造物としての耐震安定性を確保するためには、沈埋トンネルとその周辺地盤の地震時の安定の確認が必要となる。

本文は地震時ににおける沈埋トンネル周辺の水平粘性土地盤の安定および沈埋トンネル横断面、断面力の検討方法の基本的な考え方を提示し、この方法を東京湾横断道路沈埋トンネルの計画等に適用した結果を報告するものである。

2. 沈埋トンネル周辺の水平粘性土地盤の地震時ににおける安定の検討

従来から通常の土木構造物の耐震設計には震度法が広く用いられてきている。しかし、沈埋トンネルは横断方向よりも軸方向に長い線状構造物であり、また周辺地盤は平面的な拡がりを有している。さらに地震力の方向と大きさは時間的にも空間的にも一律ではない。これらの点から、沈埋トンネル周辺地盤の安定は従来からの震度法そのまま適用することは不合理な条件を想定していることになる。したがって、以上の状況を考慮した均一な水平粘性土地盤の安定の検討方法として、一律な地震力が作用する範囲を考えた震度法と時間的な要因を取り入れた動的取扱いによる計算法を提案する。

2-1 地震力の作用範囲を考慮した震度法

地震力の一様な作用範囲を図-1に示すよう B, L, D とする。抵抗力として深さ X でのせん断力 Q_{fs} 、側面のせん断力 Q_{fs} 、地震力方向の

$$P_E = k_h \gamma_k \cdot B \cdot L \cdot D \quad (1) \quad \text{受働土圧} P_A \text{と主動土圧 } P_a \text{の差 } P_r \text{を考慮。}$$

$$Q_{fs} = T_p \cdot B \cdot L \quad (2) \quad \text{地震力を尾、地盤のせん断強度を } T_p \text{、単位重量を } \gamma_k \text{、水平震度を } k_h \text{、側面の平均}$$

$$P_r = L(P_p - P_a)_c \quad (4) \quad \text{せん断強度を } T_{pe} \text{とすれば、上記の諸力と}$$

$$F_{sc}(z) = (Q_{fs} + Q_{fs} + P_r) / P_E \quad (5) \quad \text{安全率は (1) } \sim (4) \text{ 式で表わされる。} \quad \text{したが}$$

$$= \frac{T_p}{k_h \gamma_k D} \left\{ 1 + 2 \frac{T_{pe}}{T_p} \frac{X}{L} + \frac{1}{B} \frac{(P_p - P_a)}{T_p} \right\} \quad (2) \quad \text{適切な } B, L, D \text{ を定めることにより}$$

$$(1) \sim (5) \text{ 式より } F_{sc}(z) \text{ が求められる。} \quad (5)$$

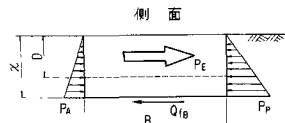
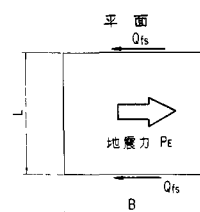


図-1

2-2 動的取扱いによる計算法

図-2に示すような層厚 H を有する表層地盤と下位の基盤面上に地震動の加速度 \ddot{x} が作用した場合のせん断振動を考える。表層地盤のせん断弾性係数を G 、粘性減衰係数を C とすと、深さ X でのせん断振動の方程式は(6)式で表わされる。(6)式は g_s, G の分布を想定し、臨界減衰 ξ_c に対する減

衰減率 α を用いて モーダルアナリシスにより解くことができる。ここでは G を等分布とし G を等分布と地表面を零とする三角形分布として 1 次モードのみに着目して求めた変位ひずみ式(7), (10)に示した。また、固有周期 T 、せん断力 T_m と式(8), (9), (11), (12)に示す。深さ x での安全率 $F_s(x)$ はこれらの結果を用いて 式(6)に示すように α と T_m の比で表わすこととする。なお所定の安全率が得られない場合には 表層地盤に生じる永久変位量を求めるこによって 地理トンネルに及ぼす影響を検討することが考えられる。

2-3 適用結果

東京湾横断道路埋立トンネルの新規ルート沿いで 軟質な粘土層と硬質な川崎側の海底部と対象とした。この粘性土は海底面下 35~40m の深さ迄分布し 繰り返す複数層がその下位に堆積している。基盤面としてこの複数層の上面を考慮した。粘性土のせん断強度は地震時、砂質土の流動化のような急激な強度低下は生しないものと考え 土質試験結果から内部摩擦角 $\phi = 0$ として $C_f = 0.15 \times \gamma_t^{0.6}$ と定め $T =$

地盤力の作用範囲を考慮した震度法を適用した場合 (5)式より
 $F_s(x) = \frac{0.15}{\gamma_t} \frac{x}{D} \left\{ 1 + \frac{1}{B} \left(\frac{B}{L} + 2 \right) x \right\}$ となる。この式から $F_s(x)$ は D と B の影響を大きく受け分かれ分る。 $\gamma_t = 1.18$, $\gamma_t = 1.70$, $D = 10m$, $B = 500m$ とした場合の結果を図-3に示す。この図

から 表層直下では $F_s(x)$ は小さいが深さとともに大きくなり、地理トンネル底面直下の $x = 16m$ 以下では $F_s(x) > 1.0$ となっていることが分かる。

動的取扱いによる計算法の適用結果を図-4に示す。 G の値は PS 試験による構造速度 V_s から $G = \frac{\gamma_t}{g} V_s^2$ を求めた値を地震時の地盤のヒステリシスレベルの増加を考慮して $\frac{1}{4}$ 倍とした。応答速度の基準値 Sv は平均応答スペクトル (建設省土木研究所 1970 年盤上, $h=0.20$) から 固有周期 T に対応する値を読み取った。基盤面上での地震動の加速度は $150 g_{ad}$ とした。図-4 から G を等分布とした場合と三角形分布 ($\frac{H}{2}$ で等分布の G と等しくする) の場合と比較するとせん断応力は表層近くで後者の方が若干大きいが、いずれも地盤のせん断強度以下となつていることが分かる。

3. 海底トンネル横断面の地震時における断面力の検討

海底トンネル横断面の地震時での剪断力に及ぼす地盤反力係数の影響を知るために、a) 鋼直地盤反力係数 K_H の変化による影響 b) 水平地盤反力係数 K_H と K_V の比の影響 c) 鋼直震度 k_H が

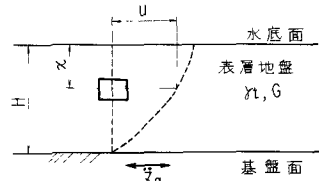


図-2

$$\frac{\partial}{\partial t} \frac{\partial u}{\partial t} + C \frac{\partial u}{\partial t} - \frac{\partial}{\partial x} (G \frac{\partial u}{\partial x}) = - \frac{\partial}{\partial t} \frac{\partial g}{\partial x} \quad (6)$$

G 等分布

$$U_{max}(x) = \frac{2}{\pi^2} T Sv A_{ch} \cos \frac{\pi x}{2H} \quad (7)$$

$$T_m(x) = \frac{GT}{\pi H} Sv A_{ch} \sin \frac{\pi x}{2H} \quad (8)$$

$$T = \frac{4\pi}{V_s} = 4H \sqrt{\frac{\pi}{gG}} \quad (9)$$

G 三角形分布 [$x=0$, $G=0$, $x=H$, $G=G_H$]

$$U_{max}(x) = 1602 \frac{T}{2\pi} Sv A_{ch} J_0(2405 \sqrt{\frac{x}{H}}) \quad (10)$$

$$T_m(x) = 19264 G_H \sqrt{\frac{x}{H}} \frac{T}{2\pi} Sv A_{ch} J_1(2405 \sqrt{\frac{x}{H}}) \quad (11)$$

$$T = \frac{4\pi}{2405} \frac{H}{V_s} = 2405 \sqrt{\frac{\pi}{gG}} \quad (12)$$

Sv 応答速度の基準値

A_{ch} 基盤面での地震動の加速度

J_0, J_1 0.1 階のベッセル関数

$$F_s(x) = \frac{T_m(x)}{T_m(H)} \quad (13)$$

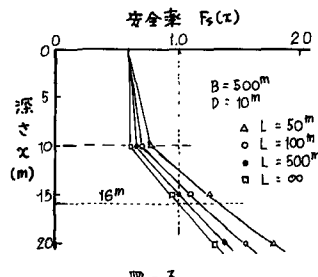


図-3

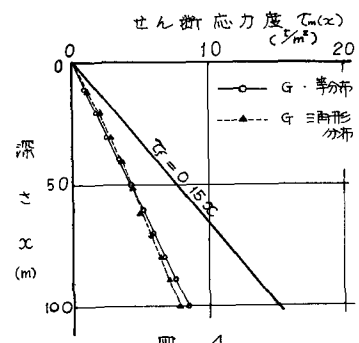


図-4

上向きの場合に K_v の分布を階段状に変化させた影響に着目して表-1のケースについて計算を行った。計算方法は震度法と用い、作用荷重としては図-5に示すように、水圧 P_w 、地震時主働土圧 K_h 、沈埋トンネル断面の自重 W_b と慣性力 W_{hs} 、上載土の自重 W_s と慣性力 W_{hs} とを考慮した。水圧は平常時の満潮位から求め、地震時主働土圧は物部の式を用いて地中震度から算定した。計算は図-6に示す東京湾横断道路沈埋トンネルの計画案の断面を対象に行った。震度は水平震度 $K_h = 0.22$ 、鉛直震度 $K_v = \pm 0.5 K_h = \pm 0.11$ を考慮した。

表-1に示す計算ケースのうち、鉛直震度角が下向きの場合の曲げモーメント M_c に対する K_v の変化による影響を図-7に示す。

またこの図の中には参考として K_v が一律に 0.1 kg/cm^3 分布しているとして異常潮位時の荷重条件で計算した常時の曲げモーメント M_c も記入した。図-7から地震時に鉛直震度角に対する K_v の変化による影響は比較的小小さくその開きは最大30%程度となっている。この傾向は他の計算ケースもほど同様で軸力、せん断力についてもほとんど変わらない。したがって、ここでは曲げモーメント M_c に対する K_v および K_h/K_v の影響を常時 ($K_v = 0.1 \text{ kg/cm}^3$ 等分布、異常潮位時) の曲げモーメント M_c に対する M_c/M_c を用いて、図-8、図-9に示す。図-8から $K_v \geq 0.01 \text{ kg/cm}^3$ では、 $K_h/K_v = 1$ の場合 M_c/M_c はほど一定となること、および図-9から $K_v = 0.1 \text{ kg/cm}^3$ の場合 K_h/K_v が大きくなるにつれて M_c/M_c は若干減少する傾向にあることが分かる。但し図-9で後側の側壁中央部(節奏43)では K_h/K_v の増加とともに M_c/M_c は増加する傾向にある。

鉛直震度 K_v
を上向きに作用させて、 K_v
の値を階段状
に変化させた
計算ケース(

Bシリーズ)

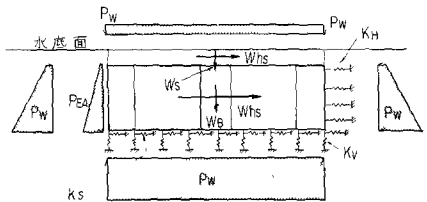


図-5

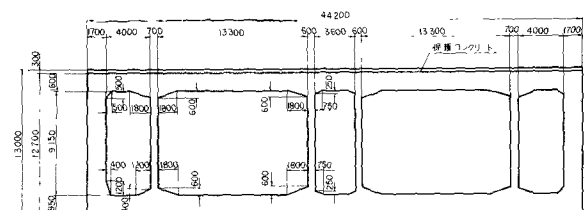


図-6 東京湾横断道路沈埋トンネル構造一般図(計画案)

表-1

計算ケース	鉛直震度 $K_v [kg/cm^3]$	地盤反力係数 (kg/cm ³)		
		鉛直 K_v	水平 K_h	せん断 K_s
A-1-1	0.11	0	0	0
A-1-2	-0.11	-	-	-
A-2-1	0.11	0.01	0.01	0.005
A-2-2	-0.11	-	-	-
A-3-1	0.11	0.10	0.10	0.05
A-3-2	-0.11	-	-	-
A-4-1	0.11	0.10	0.05	0.05
A-4-2	-0.11	-	-	-
A-5-1	0.11	0.10	0.20	0.05
A-5-2	-0.11	-	-	-
B-1-1	0.11	0.10	0.05	0.05
B-2-1	0.11	0.10	0.10	0.05
B-3-1	0.11	0.10	0.20	0.05

±11 $K_h > 0$ 潮位上方 $K_h < 0$ 潮位下方
21 B-1,2,3
 K_h, K_s の分布
22 土圧パティリ
 K_h' / K_h K_s' / K_s $K_h' = \frac{1}{10} K_h$
 $K_s' = \frac{1}{10} K_s$

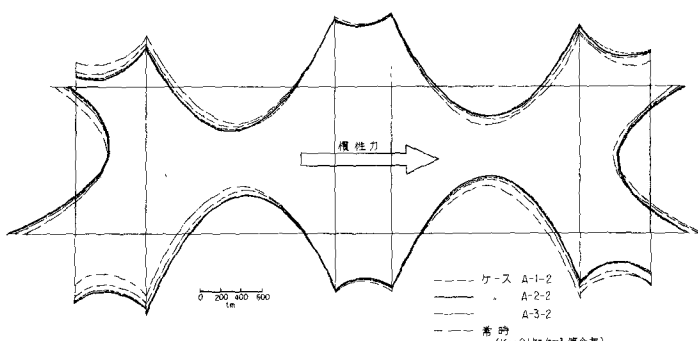


図-7 曲げモーメント図

と K_v を等分布とした計算ケース A-4-1, A-3-1, A-5-1) の曲げモーメントの比 M_E/M_s を比較すると図-9に示すようにその差は ±10% 程度の範囲内にあり大きな影響はない。

常時の結果との比較を表-2に示す。この表は地震時で検討した全ケースを通しての最大値 $M_{E\max}$ と前述した常時の値 M_s とを比較したものである。その結果、受衝側側壁、上方隅角部、節点 34) を除けば $M_{E\max}$ は常時の値 M_s の 2 ~ 3.6 倍となっていることがわかる。

千 要約および問題点

本報告では、沈埋トンネルのような線状構造物の周辺水平粘性土地盤の地震時での安定および沈埋トンネル横断面の地震時断面力の検討方法と東京湾横断道路沈埋トンネルの計画案に適用した結果を示した。その結果、次のようにまとめられる。

i) 沈埋トンネル周辺水平粘性土地盤の地震時での安定

i. 検討方法として地盤力の作用範囲を考えた震度法と時間の要因を取り入れた動的取扱いによる計算法を提示した。

ii. 地盤力の作用範囲を考えた震度法を適用する場合、地盤力の作用範囲を地平および地表での地震観測記録、震害調査、地震応答解析等によって調べることが必要となる。

iii. 動的取扱いによる計算法では適用結果からも分るように S_v の違い結果に大きな影響を及ぼすので G_1 についてはヒズミレベル、上載圧の影響を考慮して決めること、また S_v については実際の地震動の波形を用いる場合には、その周期特性を考慮して決めることが重要である。

iv. さらに進んだ検討を行う場合には地盤の成層状況、土質と動的強度および変形特性について詳細なデータが必要となる。

2) 沈埋トンネル横断面の地震時断面力の検討

適用結果から東京湾横断道路沈埋トンネルの計画案の横断面について、地震時の断面力は常時の断面力に対する地盤反力係数の大きさ、分布状態の変化によって大きく影響されないことが分った。この原因としては水压の影響が地震荷重(慣性力、主働土圧)に比べて水深が深いため(約 32m)に大きいこと、また横断面の高さに対して底面幅が大きいためと考えられる。

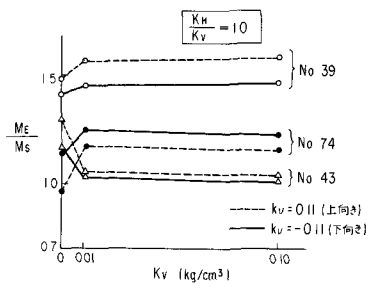


図-8

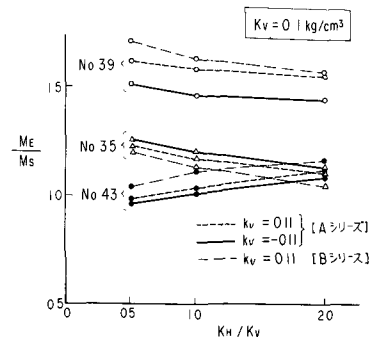
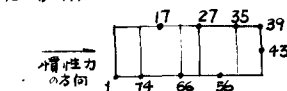


図-9

表-2

節点No.	$M_{E\max}$	M_s	$M_{E\max}/M_s$
1	-689.3	-514.7	1.36
17	435.7	378.3	1.15
27	-722.7	-602.9	1.20
35	-632.5	-512.0	1.24
37	-397.6	-233.0	1.71
43	403.1	309.9	1.30
56	583.3	480.3	1.21
66	-591.8	-580.8	1.02
74	-809.6	-631.6	1.28

注) 節点位置



2) $M_s: K_v = 0.1$ の等分布
異常潮位で計算した値